

パラメトリック X 線を利用した 新しい電子ビームプロファイルモニタの開発

高林雄一, 隅谷和嗣
九州シンクロトロン光研究センター

従来, リニアックの電子ビームの高精度プロファイルモニタとして, 可視遷移放射 (optical transition radiation : OTR) が用いられてきた. しかし, 最近, X 線自由電子レーザー (X-ray free electron laser : XFEL) 用のリニアックにおいて, ビームのバンチ長が短いために, OTR がコヒーレントになり, ビームのプロファイル測定に利用できないことが判明した[1,2]. また, 現在, 世界規模で開発研究が進んでいる国際リニアコライダー (International Linear Collider : ILC) のように, ビームサイズが可視光の波長より小さい場合にも OTR はコヒーレントになると考えられる.

コヒーレントになることを避けるには, より波長の短い光を利用する必要がある. そこで, 本研究では, パラメトリック X 線 (parametric X-ray radiation : PXR) の利用を提案する. PXR とは, 相対論的荷電粒子が結晶に入射した際に, ブラッギ条件を満たす方向に X 線が放射される現象である. 入射荷電粒子のまとっている擬似的光子が結晶によって回折される現象と解釈することができる.

本研究では, PXR を利用したビームプロファイルの測定法として, (1) 近接法, (2) ピンホール法, (3) フレネルゾーンプレート法という 3 つの手法を提案している.

(1) 近接法 :

2 次元の X 線検出器を光源点に接近させて PXR のプロファイルを測定し, 理論計算により, PXR のプロファイルからビームのプロファイルを導出する.

(2) ピンホール法 :

いわゆるピンホールカメラの原理に基づく手法である. 光源点と X 線検出器の間にピンホールを設置し, X 線検出器上にビームのプロファイルを再構成する.

(3) フレネルゾーンプレート法 :

X 線領域においてレンズとしての働きを持つフレネルゾーンプレートを光源点と X 線検出器の間に設置し, ビームのプロファイルを X 線検出器上に結像する.

実験は, 九州シンクロトロン光研究センター (SAGA Light Source : SAGA-LS) のリニアックからの 255 MeV 電子ビームを利用して行った. 標的として, 厚さ 20 μm の Si 単結晶を用いた. これまでに, 近接法とピンホール法の原理の検証実験に成功した[3,4]. 現在, 残るフレネルゾーンプレート法に関する研究を進めている.

参考文献

- [1] H. Loos *et al.*, Proc. of FEL08, 485 (2008).
- [2] 原徹ら, 第 8 回日本加速器学会年会プロシードィングス, 55 (2011).
- [3] Y. Takabayashi, Phys. Lett. A **376**, 2408 (2012).
- [4] Y. Takabayashi, K. Sumitani, Phys. Lett. A **377**, 2577 (2013).



パラメトリックX線を利用した 新しい電子ビームプロファイルモニタの開発

高林 雄一, 隅谷 和嗣
九州シンクロトロン光研究センター

背景

従来、リニアックの電子ビームの高精度プロファイルモニタとして、可視遷移放射(optical transition radiation: OTR)が用いられてきた。しかし、最近、X線自由電子レーザー(X-ray free electron laser: XFEL)用のリニアックにおいて、ビームのパンチ長が短いために、OTRがコヒーレントになり、ビームのプロファイル測定に利用できないことが判明した[1,2]。また、現在、世界規模で開発研究が進んでいる国際リニアコライダー(International Linear Collider: ILC)のように、ビームサイズが可視光の波長より小さい場合にOTRはコヒーレントになると考えられる。

コヒーレントになることを避けるには、より波長の短い光を利用する必要がある。そこで、本研究では、パラメトリックX線(parametric X-ray radiation: PXR)の利用を提案する[3,4]。PXRとは、相対論的荷電粒子が結晶に入射した際に、プラグ条件を満たす方向にX線が放射される現象である。入射荷電粒子のまつてある擬似光子が結晶によって回折される現象と解釈することができる。

参考文献

- [1] H. Loos et al, Proc. of FEL08, 485 (2008).
- [2] 原徹也, 第8回日本加速器学会年会プロシーディングス, 55 (2011).
- [3] Y. Takabayashi, Phys. Lett. A 376, 2408 (2012).
- [4] Y. Takabayashi, K. Sumitani, Phys. Lett. A 377, 2577 (2013).

目的

PXRを利用した新しいビームプロファイルモニタの開発

- 近接法
- 遠隔法: ピンホール法, フレネルゾーンプレート法

近接法

PXRのプロファイルは、PXRの角度分布と結晶上のビームプロファイル・ビームの角度分布との畳み込みにより形成される。X線検出器を結晶に接近させて測定した場合、ビームプロファイルによる畳み込みの効果が生まる。つまり、PXRのプロファイルからビームプロファイルの導出が可能。

$$I^{\text{conv}}(\theta_x, \theta_y) = \int \int [I(s_x - s, \theta_y - t) G(s, t)] ds dt \quad G(s, t) = \frac{1^2}{2\pi\sigma_x\sigma_y} \exp\left(-\frac{s^2}{2\sigma_x^2/1^2}\right) \exp\left(-\frac{t^2}{2\sigma_y^2/1^2}\right) \quad \sigma_x: 水平ビームサイズ \\ \sigma_y: 垂直ビームサイズ \\ 1: 結晶からX線検出器までの距離$$

(220面によるPXRの2次元プロファイル(計算結果)

(a) ビームプロファイル($\sigma_x = \sigma_y = 1 \text{ mm}$)による

畳み込みなし, (b) 畳み込みあり

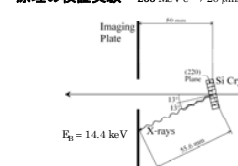
PXRのプロファイル(計算結果) ビームサイズ対PXRプロファイルの半値幅(Half Width at Half Maximum: HWHM)

(a) 水平方向, (b) 垂直方向

(a) Relative Intensity vs. s_x (mm), (b) Relative Intensity vs. s_y (mm)

$\Delta\sigma_x/\sigma_x$ (mm), (b) $\Delta\sigma_y/\sigma_y$ (mm)

原理の検証実験 255 MeV e⁻ → 20 μm厚Si商品



	$\Delta\sigma_{x,\text{HWHM}}$ (μm)	σ_x (μm)	$\Delta\sigma_{y,\text{HWHM}}$ (μm)	σ_y (μm)
PXRによる測定	0.57 mm	0.15 mm	1.31 mm	0.76 mm
螢光板による測定 (100 μm厚アルミニウム板)	~0.2 mm	~0.2 mm	~0.7 mm	~0.7 mm

螢光板を用いた測定結果とほぼ一致

まとめ

- PXRを利用した新しいビームプロファイルモニタの開発
- 近接法の原理の検証実験に成功
- ピンホール法の原理の検証実験に成功
- フレネルゾーンプレート法の原理の検証実験が進行中

SAGA Light Source (SAGA-LS)

蓄積リング	
周長	75.6 m
エネルギー	1.4 GeV
蓄積電流	300 mA
エミッタス	25 nm·rad
寿命	>7 hours @ 300 mA
臨界エネルギー	1.9 keV

リニアック

全長	30 m
エネルギー	255 MeV
平均電流	7 nA
繰り返し	1 Hz

装置構成

Beam Dump

Screen Monitor

Quadrupole Magnets

Screen Monitor

Bending Magnet

Quadrupole Magnets

Linear Accelerator

Goniometer Chamber

可変範囲

最小ステップ

0°時

+180°時

0.000069°

小角時

+10°時

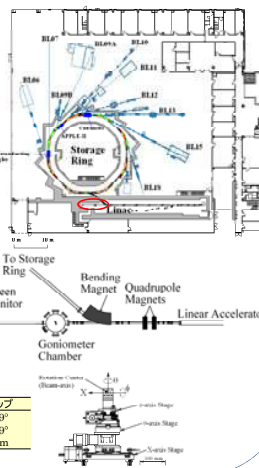
0.000019°

X軸時

-50°時

50 mm

0.002 mm

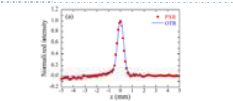
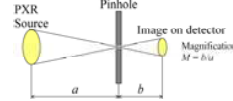


遠隔法: ピンホール法

近接法はシンプルな手法であるが、実験条件によっては検出器を結晶に近づけられない場合もある。

そこで、X線検出器を結晶から遠い位置に設置する遠隔法を提案。この場合は、像を転送するための光学系が必要。ピンホールカメラの原理に基づき、ピンホール法を提案。

原理の検証実験



PXRによるビームサイズ測定結果

水平 (μm)	垂直 (μm)
$\sigma_{\text{PXR},\text{HWHM}}$	$\sigma_{\text{PXR},\text{HWHM}}$
268 ± 3	553 ± 9
σ_{pinhole}	σ_{pinhole}
75 ± 0.1	75 ± 0.1
σ_{at}	σ_{at}
97 ± 1	97 ± 1
σ_{PXR}	σ_{PXR}
238 ± 3	539 ± 9

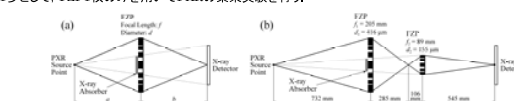
OTRによるビームサイズ測定結果

水平 (μm)	垂直 (μm)
$\sigma_{\text{OTR},\text{HWHM}}$	$\sigma_{\text{OTR},\text{HWHM}}$
278 ± 2	616 ± 8
σ_{CCD}	σ_{CCD}
125 ± 6	125 ± 6
σ_{OTR}	σ_{OTR}
248 ± 4	603 ± 8

遠隔法: フレネルゾーンプレート法

この手法では、結晶上のPXRのプロファイルを、X線検出器まで転送するためのレンズが必要。

本研究では、フレネルゾーンプレート(Fresnel zone plate: FZP)の利用を提案。FZPとは、X線の透過帯と不透過帯が交互に同心円状に並んだものであり、X線用のレンズとしての働きを持つ。第1歩として、FZP1枚のみを用いてPXRの集束実験を行う。



謝辞

パラメトリックX線に関して議論いただいた、ウクライナのハリコフ物理工学研究所のA.V. Shchagin上席研究員、ロシアのトムスク工科大学のK.B. Korotchenko准教授、Yu.L. Pivovarov教授、T.A. Tukhfatullin准教授に感謝いたします。

本研究は、JSPS科研費24654078の助成を受けたものです。